

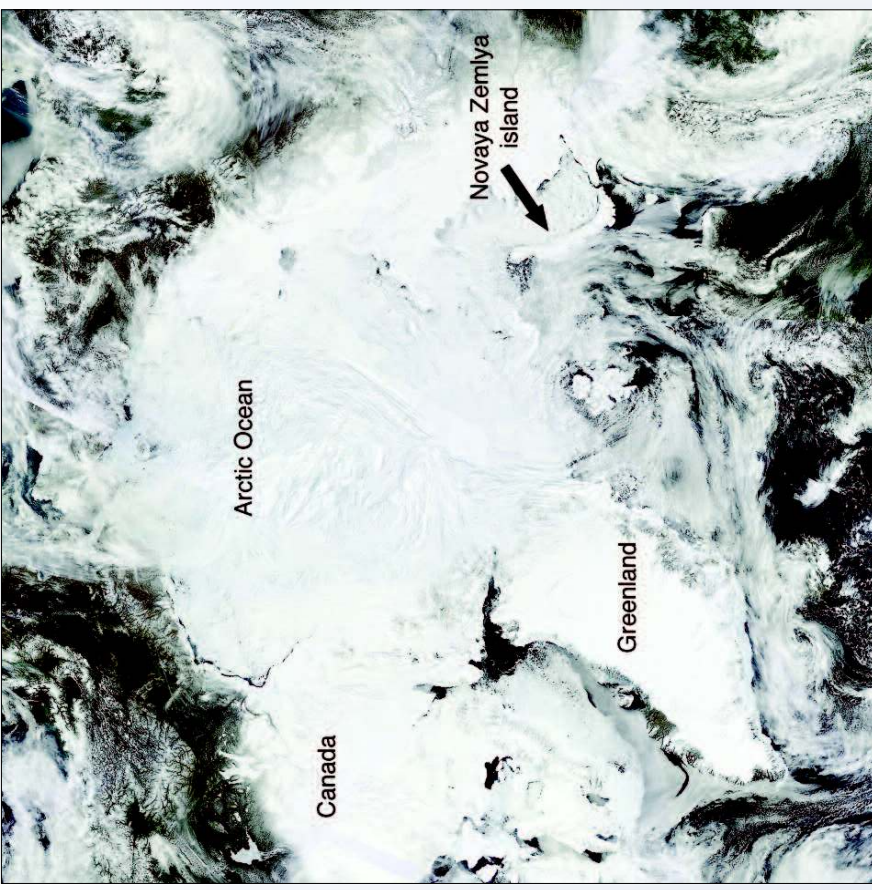
Satellietmetingen van zee-ijs

De omtrek van het zee-ijs in het noordpoolgebied was de afgelopen zomer minder dan normaal. Het record van 2007 werd echter niet overtroffen en ook vorig jaar was het gebied met zee-ijs kleiner. Wel blijft er over de jaren een sprake van een afnemende tendens. Maar ... hoe weten we dat eigenlijk? Hoeveel ijs moet er drijven om van een zee-ijsbedekking te spreken. En wat is normaal?

Zee-ijs is bewogen zeewater dat drijft op het onderliggende oceanenwater. De omtrek van het gebied dat met zee-ijs bedekt is, varieert met het seizoen. 's Winters groeit het zee-ijs aan en bereikt in het noordpoolgebied vervolgens zijn maximale omtrek in februari of maart. In de daaropvolgende zomermaanden smelt het ijs gedeeltelijk weer weg, om in de tweede helft van september een voor dat kalenderjaar minimale omtrek te bereiken.

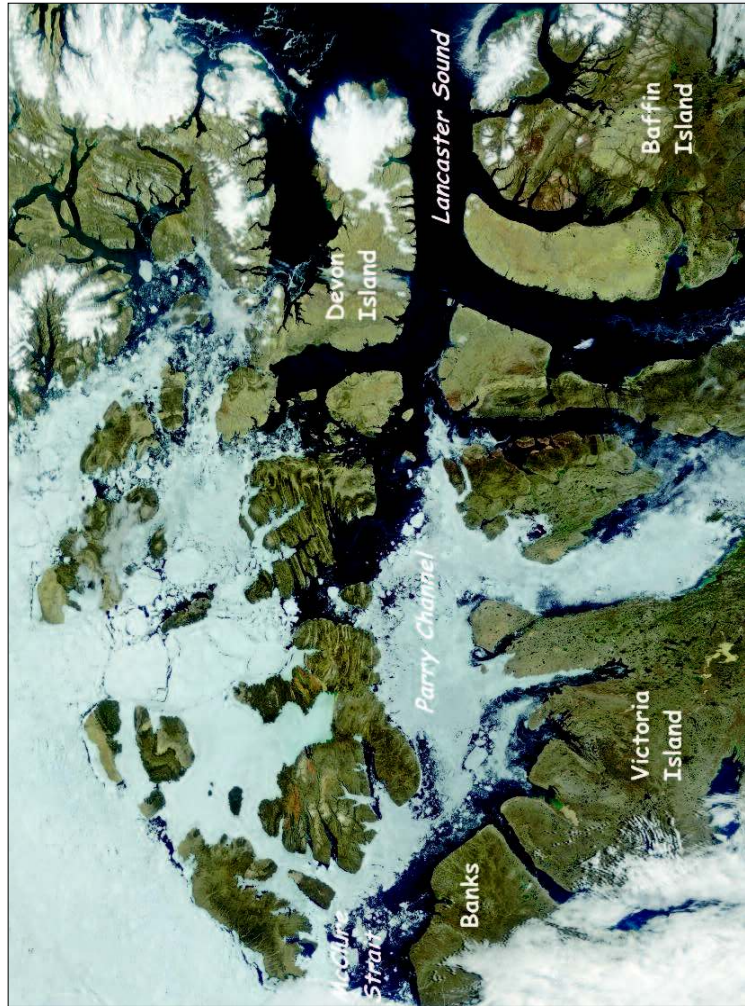
Het meeste zee-ijs van het noordelijk

halfcirkel op de Noordelijke IJszee (Arctic Ocean in figuur 1), de kleinste en ondiepste van de vier oceanen. Doordat deze grootschalig omringd is door land, kan het ijs slechts bij een beperkt aantal windrichtingen wedrijven naar zuidelijker breedtes om daar geleidelijk weg te snelten. In de winter vormt zich ook zee-ijs in gebieden buiten de Noordelijke IJszee, zoals de Groenlandse, de Labradorzee, de Baffinzee, de Hudsonbaai, de Baffinbaai en de Zee van Ochotsk.



Kees Floor

Kees Floor verzorgt cursussen, workshops, lezingen en geschreven teksten over het weer en aanverwante onderwerpen. Veel van zijn bijdragen aan *Zenit* (en andere tijdschriften) zijn te vinden op keesfloor.nl.

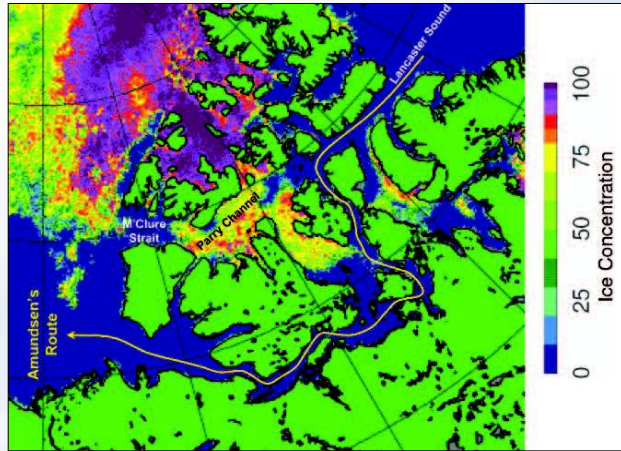


Satellietmetingen van zee-ijs

Sinds 1979 leveren satellieten meetgegevens die een onafgebroken en samenhangend beeld geven van de hoeveelheid zee-ijs in het Noordpoolgebied. De meetreks niet betrouwbaar, met name in de zuidelijke kant, eigenlijk te kort om van klimatologie te kunnen spreken. Om eventuele trends in de zee-ijsbedekking te bepalen, vergelijkt men actuele waarnemingen met de medianen over de periode 1979 tot 2000. De helft van de in die periode waargenomen ijssbedekking is kleiner, de andere helft groter dan de mediaan. Voor het satelliettijdperk begon, was men aangewezien op poolexpedities, tijdrovende en gevarelijke ondernemingen. De meeste oudere waarnemingen komen uit Rusland, dat vanaf 1928 bases inrichtte in het Russische deel van het Noordpoolgebied. Daarvoor waren er enige eeuwen geen waarnemingen van walvisvaarders.

Voor de periode 1954-1993 is een

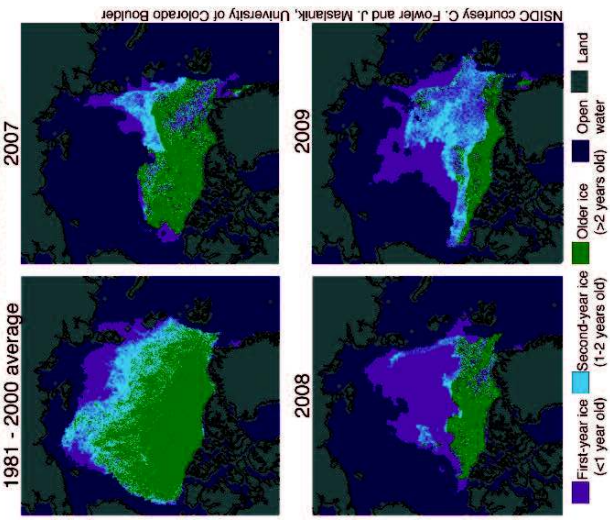
onafgebroken meetreeks beschikbaar van Russische ijswarnemingen. Met het uiteenvallen van de Sovjet Unie in 1991 kwam er ook een einde aan de routinematige waarnemingen. Gelukkig waren er tegen die tijd



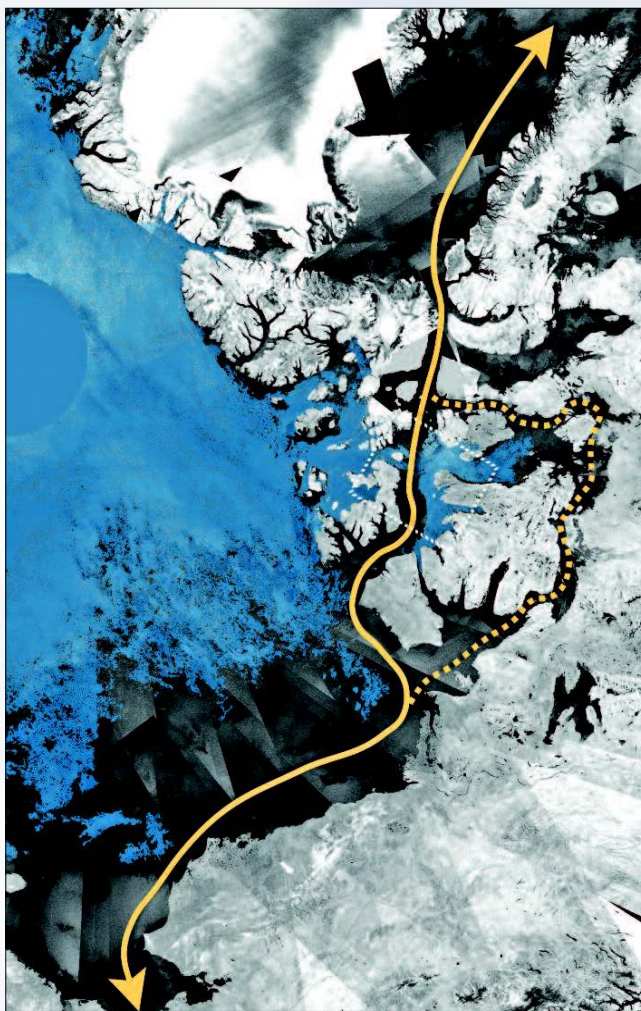
2. Satellietbeeld van de Noordwestpassage op 27 augustus 2009. De vrijwel altijd door ijsgang geblokkeerde noordroute ten noordoosten van Canada, loopt door Lancaster Sound, noordwestelijk van Victoria Island door Parry Channel en door McClure Strait. In dit geval blokkeert ijs in het westelijk deel van Parry Channel de route. Een veel moeilijker bevaarbare, zuidelijker gelegen variant, ten zuiden van Victoria Island langs, is af open en was dat ook op het tijdstip dat de satelliet overkwam. De beide varianten van de noordwestpassage zijn ingetekend in het satellietafelbeeld van figuur 6. Het satellietafelbeeld van figuur 3 bevat alleen de zuidelijke variant. Instrument: MODIS. Satelliet: Terra. Bron: NASA/GSFC MODIS Rapid Response Team.

3. Ijssbedekking op 10 augustus vorig jaar (2008) in het gebied rond de noordwestpassage, gebaseerd op microgolfsatellietdata van de Advanced Micro-wave Scanning Radiometer (AMSR-E) op de Amerikaanse Terra-satelliet. De gele lijn geeft de moeilijk bevaarbare zuidelijke variant van de noordwestpassage, die in 1903 werd bevangen door de Noorse ontdekkingsreiziger Amundsen. Bron: NSIDC en Universiteit van Bremen.

Arctic sea ice age at the end of the melt season



7. De leeftijd van het zee-ijs aan het eind van de zomer. IJs van twee jaar of ouder is groen, ijs jonger dan 1 jaar paars, open water donkerblauw en land grijs. Het tweede-jaarsijs (licht-blauw) is de afgelopen zomer tegengenomen ten opzicht van vorig jaar. De omvang van het oude ijs is echter zorgelijk en ligt ver onder het niveau van de periode 1981-2000. Bron: NSIDC.



men ook geen probleem bij radarmetingen. Zee-ijs reflecteert meer van de door een synthetic aperture radar (SAR) op een satelliet uitgezonden radarstraling dan zewater, zodat het onderscheid goed kan worden gemaakt. De resolutie van de SAR-beelden is zelfs zo goed dat ook kleine watergeulen in het ijs zichtbaar zijn (zie ook figuur 6). Op de radarbeelden ziet ouder ijs er ook anders uit dan jonger ijs. Het jonge ijs bevat nog zewater, in het oudere ijs zitten meer luchtbellen; deze verschillen leiden tot verschillen op het radarbeeld. De leeftijd en de daamme samenhangende dikte van het ijs zijn van belang om een inschatting te maken van de kwetsbaarheid van het zee-ijs gedurende de zomerpriode. Vooral ijs dat in de winter nieuw is ontstaan, loopt een groot risico gedurende de daarop volgende zomer weer te verdwijnen. Ijs dat meer dan twee jaar oud is, komt de zomer doorgaans wel ongeschonden door. Dunner ijs heeft minder energie nodig om te smelten. Ook breekt het sneller, waarbij er meer gebukt.

Microwogen

Om minder afhankelijk te zijn van bewolking en belichting, werkt men daarom liever met microwogen. Voorlopers zenden niet alleen warmtestraling uit, maar ook straling in het gebied van de microgolven. De straling is zwak, maar wordt wel dag en nacht uitgezonden en ondervindt weinig hinder van bewolking. De hoeveelheid straling die in dit golfengebied wordt uitgezonden, hangt af van de natuurkundige eigenschappen van de stof. Ijs met zijn kristallijne structuur zendt meer straling uit dan water. Doordat het signaal zwak is, moet men over een groter gebied.

Radar

De aanwezigheid van bewolking en de afwezigheid van zonlicht vor-

men zo toch een detecteerbaar signaal te krijgen. De resolutie van deze metingen is dan ook niet zo hoog. Toch speelt deze techniek de belangrijkste rol bij het monitoren van het ijs in de Noordelijke IJszee. Op dit moment zijn het vooral de Advanced Microwave Scanning Radiometer (AMSR-E) op de Amerikaanse Terra-satelliet en de Special Sensor Microwave Imager/Sounder (SSMIS) op de Amerikaanse militaire satelliet DMSP-F17, die de gegevens leveren. Zo is figura 3 gebaseerd op AMSR-E-gegevens en zijn de figuren 4 en 5 gebaseerd op SSMIS-data.

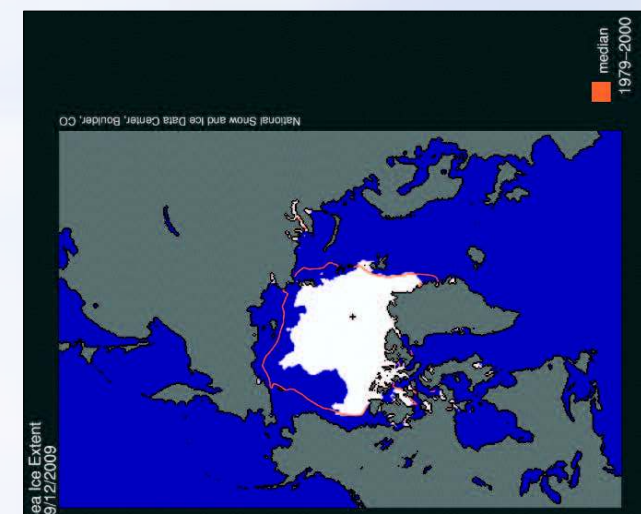
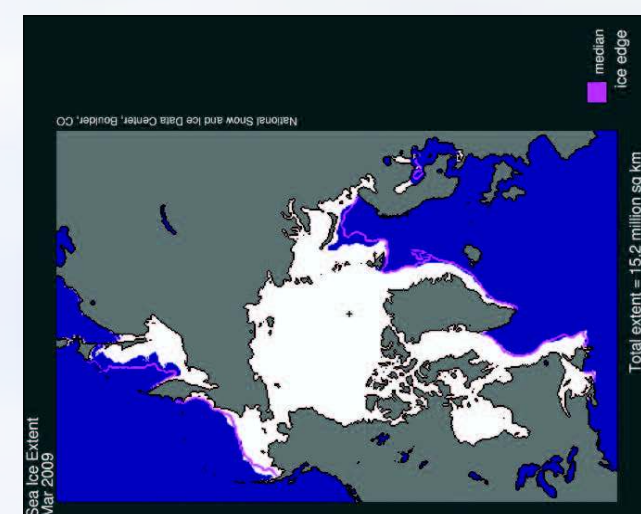
Ook de Quick Scatterometer (QuikSCAT) satelliet werkt met microgolven, die ze echter zelf uitzenden. Daarmee tast ze het aardoppervlak af. Water en ijs zijn weer makkelijk uit elkaar te houden, doordat verstrooiing door ijs anders is dan door water. Qua resolutie wordt echter nauwelijks winst gehaald.

Bij de zichtbaarheidbeelden is bo-

voldoende satellieten in bedrijf om de waarnemingsweken te kunnen voorzien. Ze worden aangevuld met de resultaten van incidenteel veldwerk, de meetgegevens van boven en de weersveranderingen van automatische stations. De grens tussen gebieden met en die zonder zee-ijs ligt men bij 15%, omdat de recente satellietwaarnemingen en de oudere visuele waarnemingen dan het best op elkaar aansluiten.

Satellietbeelden

Satellietbeelden van het noordpoolgebied wekken vaak de indruk dat de omvang van het gebied dat bedekt is met zee-ijs eenvoudig is vast te stellen. De bruikbaarheid van de 'klassieke' beelden in het zichtbaarlicht (zoals figuren 1 en 2) en het infrarood (niet afgebeeld) is echter beperkt. In beide golflengtegebieden beïnvloedt bewolking het zicht op het wateroppervlak, het eveneens aanwezig land en, waar het in dit geval om gaat, het zee-ijs. In het Noordpoolgebied is het namelijk 70 tot 90 procent van de tijd bewolkt. Bij de zichtbaarheidbeelden is bo-



4. Zomerminimum van het zee-ijs in het Noordpoolgebied, 12 september 2009. De figuur is gebaseerd op waarnemingen van de Special Sensor Microwave Imager/Sounder (SSMIS) op de Amerikaanse militaire satelliet DMSP-F17. De magenta kromme geeft de mediaan van de ijstrand tijdens het zomerminimum voor de periode 1979-2000. Bron: NSIDC.

5. Omvang van het zee-ijs tijdens het meest recente wintertmaximum van maart 2009. De magenta kromme geeft de mediaan van de ijstrand in maart voor de periode 1979-2000. Instrument: SSMIS. Satelliet: DMSP-F17. Bron: NSIDC.

6. Mozaïek van radarbeelden van een deel van het noordpoolgebied, midden augustus 2008, dus kort voor het zee-ijsminimum van vorig jaar. De stroken waaruit het beeld is opgebouwd, zijn in de afbeelding terug te vinden. De dekking rond de noordpool is onvoldoende, zodat daar geen warmtemeningen beschikbaar zijn (grijze cirkel). Ijs is blauw weergegeven; open water is donker, land is lichter van tint. De oranje lijn geeft de route door de zogenaamde noordwestpassage, van de Labradorzee langs Canada naar de Beringstraat; de route is vrijwel ijsvrij. De oranje stippenlijn geeft een alternatieve route, de zogenoemde Amundsen noordwestpassage, die op dat tijdstip al bijna een maand geheel ijsvrij was. Instrument: EnvSat. Bron: Esa.